

PR Shaped SQAM의 Performance에 Carrier Phase Error에 미치는  
영향에 관한 연구

83334

박 용 우 이 흥재

한국항공대학 전자공학과

A Study on the PR Shaped SQAM Performance with Carrier Phase Error

Park, Yong Woo Lee, Hyung Jae  
Dept. of Electronics Eng., Hankuk Aviation College

**Abstract**

A Study is presented showing the effect of carrier phase error on the error-rate of a PR(class I,II,IV) shaped SQAM digital radio system.

A simple upper bound on the probability of error as a function of phase error is derived and compared to one another.

The result is that if carrier phase error is less than  $3^\circ$  there is no serious degradation.

**I. 서론**

Digital radio system에 있어서 한정된 bandwidth 내에 전송해야 할 정보량이 급증함에 따라 시설 과부하(Spectral congestion)가 생기게 된다.

그러므로 이런 문제를 해결하기 위해서 고주파수 대역으로 새로운 주파수를 합당한 단위 주파수를 재사용하거나 data compression과 같은 source encoding 등의 방안들이 제안되었다.

본 연구에서는 bandwidth efficiency를 높이기 위한 spectrally efficient modulation에 중점을 두어서 그 방법으로 input signal을 modulation하는 기전에 Partial-Response Signaling(I,II,IV)를 도입해서 Nyquist의 최소 대역폭을 갖도록 spectral shaping을 시켰으며, 본조 방식으로 (4-ary, 16-ary) staggered quadrature Amplitude Modulation(QAM)을 태웠다.

또한 수신단에서 완전한 동기의 어리중으로 생기게 되는 Carrier phase error가 performance를 얼마나 악화시키는지에 대해서 error 각  $3, 6, 9, 12, 15^\circ$ 인 경우의 미하이 고찰했다.

**III. PRS와 PR(classI) SQAM**

1. PRS

PRS의 구조

PRS의 block diagram은 Fig.1과 같다.

PRS의 system polynomial은

$$F(D) = f_0 + f_1 D^1 + \dots + f_{N-1} D^{N-1}$$

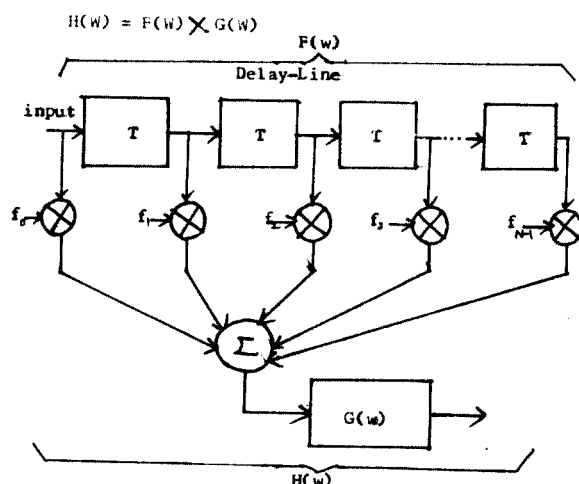
$$= \sum_{k=0}^{N-1} f_k D^k$$

여기서  $D$ 는 delay operator이다.

또한 최소 대역폭 system은 디자인 아래와 같다.

$$G(w) = \begin{cases} T & ; \quad |w| \leq \frac{\pi}{T} \\ 0 & ; \quad \text{elsewhere} \end{cases}$$

그리므로 전체 system function은



## 2) PRS의 특징 및 비교

- 본 연구에서 사용한 PRS(class I, II, IV)의 대한 특성을 Table. I에 나타냈다. (1)
- 또한 PRS의 일반적인 특성을 살펴보면 다음과 같다.
- o. Control은 Intersymbol Interference ISI 를 갖는다.
  - o. Nyquist rate로 전송 가능
  - o. redundant digit 없이 error detection 가능
  - o. Input level 수 보다 output level 수가 많아짐.

Table. I Comparison of Minimum Bandwidth  
PRS (class I, II, IV)

system polynomial $F(D)$	frequency response $H(w)$	impulse response $h(t)$
$1 + D$ (class I)	$2T \cos \frac{wT}{2}$	$\frac{4T^2}{\pi} \frac{\cos \frac{\pi t}{T}}{T^2 - 4t^2}$
$(1 + D)^2$ (class II)	$4T \cos \frac{wT}{2}$	$\frac{2T^3}{\pi t} \frac{\sin \frac{\pi t}{T}}{T^2 - t^2}$
$1 - D$ (class IV)	$j2T \sin wT$	$\frac{2T^2}{\pi} \frac{\sin \frac{\pi t}{T}}{t^2 - T^2}$

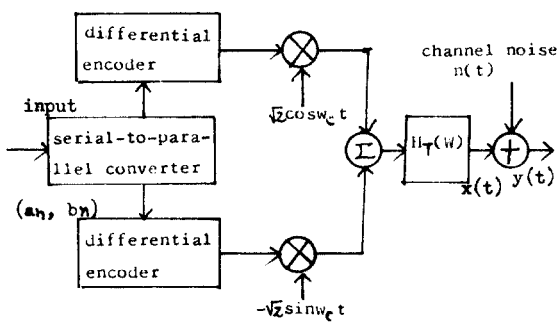
## 3) PRS의 적용

(z~7)

PRS는 여러 가지 변조 방식에 적용되어 왔으며 현재 digital radio system에서 Quadrature Partial Response Signal(QPRS) 방식과 2GHz와 8GHz에서 duobinary(class I) 3-level technique과 7-level modified duobinary(class IV) method가 사용되고 있다. (11)

## 2. PR(class I) QAM Performance

### 1) Transceiver의 구성



(a) Transmitter

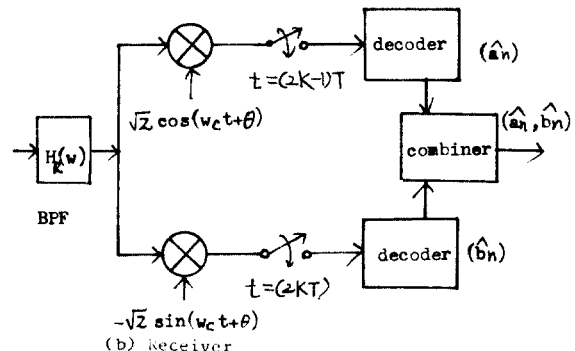


Fig. 2. Block diagram of the PR Shaped QAM Transceiver

### 2) Performance

① 징우의 probability of error  $P_e(\phi, A)$ 를 구하면

$$P_e(\phi, A) = \frac{1}{2} \left\{ Q\left(\frac{1 - Asin\phi}{\sigma}\right) + Q\left(\frac{1 + Asin\phi}{\sigma}\right) \right\}$$

$$\frac{1}{4} \left\{ Q\left(\frac{2cos\phi - 1 + Asin\phi}{\sigma}\right) + Q\left(\frac{2cos\phi - 1 - Acos\phi}{\sigma}\right) \right\}$$

이제  $A = \frac{4}{\pi} \sum_n d_n \frac{(-1)^{K-n-1}}{1 - 4(K-n-1)^2}$

Upper bound을 구하기 위한  $A_{max}$ 를 구하면

$$A_{max} = \frac{8}{\pi}$$

$$\therefore P_e(\phi) \leq \frac{1}{2} \left\{ Q\left(\frac{8sin\phi}{\sigma}\right) + Q\left(\frac{-8sin\phi}{\sigma}\right) \right\}$$

$$+ \frac{1}{4} \left\{ Q\left(\frac{2cos\phi - 1 + \frac{8}{\pi}sin\phi}{\sigma}\right) + Q\left(\frac{2cos\phi - 1 - \frac{8}{\pi}sin\phi}{\sigma}\right) \right\}$$

if)  $\phi = 0^\circ$

$$P_e(0^\circ) = \frac{3}{2} Q\left(\frac{1}{\sigma}\right)$$

이제  $\sigma^2$ 는 noise variance.

$$\sigma(x) = \sqrt{\frac{1}{2\pi}} \int_x^{\infty} e^{-\frac{u^2}{2}} du$$

이 식의 결과는 reference(9)에  
나와 있다.

### III. ° | 흔적 고찰

#### 1. PR class II, IV (4-ary)

##### 1) PR class II

이 경우에 있어서 probability of error

구하라

$$\begin{aligned} Pe(\phi, B) &= \frac{1}{4} \left\{ e^{\left( \frac{1 - C \sin \phi}{\sigma} \right)} + e^{\left( \frac{1 + C \sin \phi}{\sigma} \right)} \right. \\ &+ Q\left( \frac{3 - 2 \cos \phi + C \sin \phi}{\sigma} \right) + Q\left( \frac{3 - 2 \cos \phi - C \sin \phi}{\sigma} \right) \\ &+ Q\left( \frac{2 \cos \phi - 1 + C \sin \phi}{\sigma} \right) + Q\left( \frac{2 \cos \phi - 1 - C \sin \phi}{\sigma} \right) \\ &+ \frac{1}{8} \left\{ Q\left( \frac{4 \cos \phi - 3 + C \sin \phi}{\sigma} \right) + Q\left( \frac{4 \cos \phi - 3 - C \sin \phi}{\sigma} \right) \right\} \end{aligned}$$

이 경우

$$C = \frac{16}{\pi} \sum_{n=1}^{dn} \frac{(-1)^{K-n}}{(2K-2n-1)} \cdot \frac{1}{4^{(2K-2n-1)^2}}$$

$$C_{max} = \frac{40}{3\pi}$$

$$\begin{aligned} Pe(\phi) &\leq \frac{1}{4} \left\{ e^{\left( \frac{1 + \frac{40}{3\pi} \sin \phi}{\sigma} \right)} + e^{\left( \frac{1 - \frac{40}{3\pi} \sin \phi}{\sigma} \right)} \right. \\ &+ Q\left( \frac{3 - 2 \cos \phi - \frac{40}{3\pi} \sin \phi}{\sigma} \right) + Q\left( \frac{3 - 2 \cos \phi + \frac{40}{3\pi} \sin \phi}{\sigma} \right) \\ &+ Q\left( \frac{2 \cos \phi - 1 - \frac{40}{3\pi} \sin \phi}{\sigma} \right) + Q\left( \frac{2 \cos \phi - 1 + \frac{40}{3\pi} \sin \phi}{\sigma} \right) \\ &+ \frac{1}{8} \left\{ Q\left( \frac{4 \cos \phi - 3 + \frac{40}{3\pi} \sin \phi}{\sigma} \right) + Q\left( \frac{4 \cos \phi - 3 - \frac{40}{3\pi} \sin \phi}{\sigma} \right) \right\} \end{aligned}$$

if)  $\phi = 0^\circ$

$$Pe = \frac{7}{4} Q\left(\frac{1}{\sigma}\right)$$

##### 2) PR class IV

이 경우에 있어서 probability of error

$$\begin{aligned} Pe(\phi, B) &= \frac{1}{2} \left\{ e^{\left( \frac{1 + B \sin \phi}{\sigma} \right)} + e^{\left( \frac{1 - B \sin \phi}{\sigma} \right)} \right\} \\ &+ \frac{1}{4} \left\{ Q\left( \frac{2 \cos \phi - 1 - B \sin \phi}{\sigma} \right) + Q\left( \frac{2 \cos \phi - 1 + B \sin \phi}{\sigma} \right) \right\} \end{aligned}$$

$$B = \frac{8}{\pi} \sum_{n=1}^{dn} \frac{(-1)^{K-n}}{(2K-2n-1)^2 - 4}$$

$$B_{max} = \frac{32}{3\pi}$$

$$\begin{aligned} Pe(\phi) &\leq \frac{1}{2} \left\{ e^{\left( \frac{1 + \frac{32}{3\pi} \sin \phi}{\sigma} \right)} + e^{\left( \frac{1 - \frac{32}{3\pi} \sin \phi}{\sigma} \right)} \right\} \\ &+ \frac{1}{4} \left\{ Q\left( \frac{2 \cos \phi - 1 + \frac{32}{3\pi} \sin \phi}{\sigma} \right) + Q\left( \frac{2 \cos \phi - 1 - \frac{32}{3\pi} \sin \phi}{\sigma} \right) \right\} \end{aligned}$$

if)  $\phi = 0^\circ$

$$Pe = \frac{3}{2} Q\left(\frac{1}{\sigma}\right)$$

#### 2. 16-ary PR (class I) S, AM

같은 경우의 probability of error 를 구하라

$$\begin{aligned} Pe(\phi) &\leq \frac{1}{2} \left[ \frac{1}{16} \left\{ 4 \left[ e^{\left( \frac{1 + \frac{24}{\pi} \sin \phi}{\sigma} \right)} + e^{\left( \frac{1 - \frac{24}{\pi} \sin \phi}{\sigma} \right)} \right] \right. \right. \\ &+ Q\left( \frac{1 - \frac{8}{\pi} \sin \phi}{\sigma} \right) + Q\left( \frac{1 + \frac{8}{\pi} \sin \phi}{\sigma} \right) \\ &+ \frac{1}{16} \left[ Q\left( \frac{6 \cos \phi - 5 + \frac{24}{\pi} \sin \phi}{\sigma} \right) + Q\left( \frac{6 \cos \phi - 5 - \frac{24}{\pi} \sin \phi}{\sigma} \right) \right] \\ &+ \frac{3}{16} \left[ Q\left( \frac{2 \cos \phi - 1 - \frac{8}{\pi} \sin \phi}{\sigma} \right) + Q\left( \frac{2 \cos \phi - 1 + \frac{8}{\pi} \sin \phi}{\sigma} \right) \right. \\ &+ Q\left( \frac{3 - 2 \cos \phi + \frac{24}{\pi} \sin \phi}{\sigma} \right) + Q\left( \frac{3 - 2 \cos \phi - \frac{24}{\pi} \sin \phi}{\sigma} \right) \\ &+ \frac{2}{16} \left[ Q\left( \frac{5 - 4 \cos \phi - \frac{24}{\pi} \sin \phi}{\sigma} \right) + Q\left( \frac{5 - 4 \cos \phi + \frac{24}{\pi} \sin \phi}{\sigma} \right) \right. \\ &+ Q\left( \frac{4 \cos \phi - 3 - \frac{24}{\pi} \sin \phi}{\sigma} \right) + Q\left( \frac{4 \cos \phi - 3 + \frac{24}{\pi} \sin \phi}{\sigma} \right) \\ &+ Q\left( \frac{4 \cos \phi - 3 + \frac{8}{\pi} \sin \phi}{\sigma} \right) + Q\left( \frac{4 \cos \phi - 3 - \frac{8}{\pi} \sin \phi}{\sigma} \right) \\ &+ Q\left( \frac{5 - 4 \cos \phi - \frac{24}{\pi} \sin \phi}{\sigma} \right) + Q\left( \frac{5 - 4 \cos \phi + \frac{24}{\pi} \sin \phi}{\sigma} \right) \\ &+ \frac{1}{16} \left[ Q\left( \frac{6 \cos \phi - 5 + \frac{8}{\pi} \sin \phi}{\sigma} \right) + Q\left( \frac{6 \cos \phi - 5 + \frac{24}{\pi} \sin \phi}{\sigma} \right) \right] \end{aligned}$$

$$+\frac{3}{16}Q\left(\frac{2\cos\theta - 1 - \frac{24}{\pi}\sin\theta}{6}\right) + Q\left(\frac{2\cos\theta - 1 + \frac{24}{\pi}\sin\theta}{6}\right)$$

$$+ Q\left(\frac{3 - 2\cos\theta - \frac{24}{\pi}\sin\theta}{6}\right) + Q\left(\frac{3 - 2\cos\theta + \frac{24}{\pi}\sin\theta}{6}\right)$$

if  $\theta = 0^\circ$

$$Pe = \frac{15}{8}Q\left(\frac{1}{6}\right)$$

#### IV. 결론

본 연구에서 고급한 3가지의 PRS 방식을 이용한 결과를 SNR  $\rightarrow$  probability of error  $Pe(\theta)$  를 Fig. 3~Fig. 6의 plot 했다.

Fig. 3 2[ class I 의 경우에서  $Pe(\theta)=10^{-6}$  을 얻기 위해  $\theta=0^\circ$  인 경우에  $SNR = 12.8dB$  이 필요하지만  $\theta=3^\circ, \theta=6^\circ$  인 경우에 각각  $1.1dB, 2.1dB$  이 각각 더 필요하게 된다.

Fig. 4 2[ class II 의 경우에  $Pe(\theta)=10^{-6}$  을 얻기 위해  $\theta=0^\circ$  인 경우에  $SNR = 12.9dB$  이 그대로  $\theta=3^\circ, \theta=6^\circ$  인 경우에 각각  $1.2dB, 3.8dB$  이 더 필요하게 된다. Fig. 5 2[ class IV 의 경우에  $Pe(\theta)=10^{-6}$  을 얻기 위해  $\theta=0^\circ$  인 경우에  $SNR = 12.8dB$  이 필요하지만  $\theta=3^\circ, \theta=6^\circ$  인 경우에 각각  $1.1dB, 2.9dB$  이 각각 더 필요하게 된다.

Fig. 6 2[ 16-ary class I 의 경우에  $Pe(\theta)=10^{-5}$  을 얻기 위해  $\theta=0^\circ$  인 경우에  $SNR = 13dB$  이 필요하지만  $\theta=3^\circ$  인 경우  $3.1dB$  이 더 필요하다.

결과적으로 carrier phase error 가  $\theta=3^\circ$ 로 대체할 error 가 생기면 performance 가 심하게 열화되지 않지만  $\theta=6^\circ$  이상이 되는 경우에 영향을 많이 받게 된다는 사실을 알 수 있다.

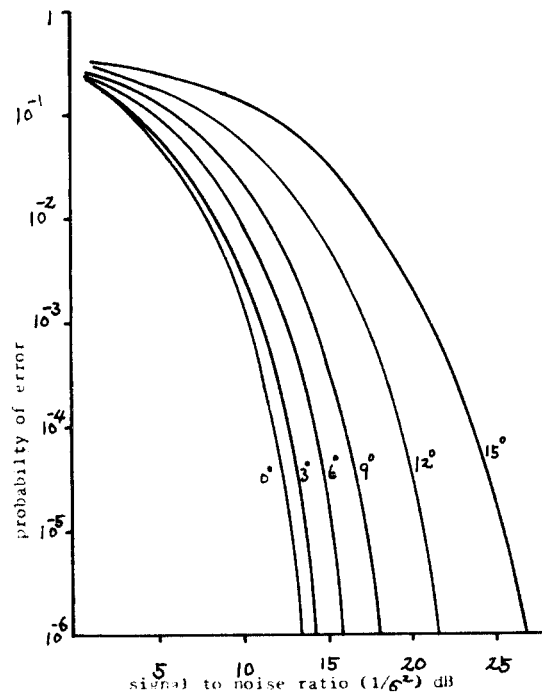


Fig.3 Error-rate of the PR class I (4-ary)

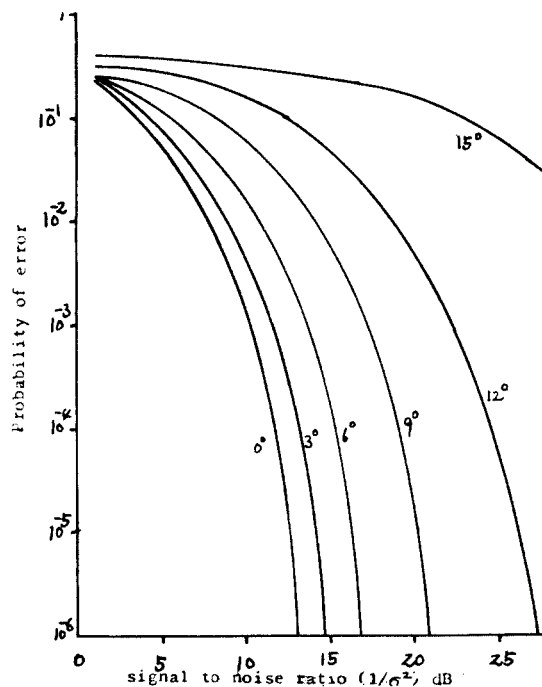


Fig.5 Error-rate of the PR class IV (4-ary)

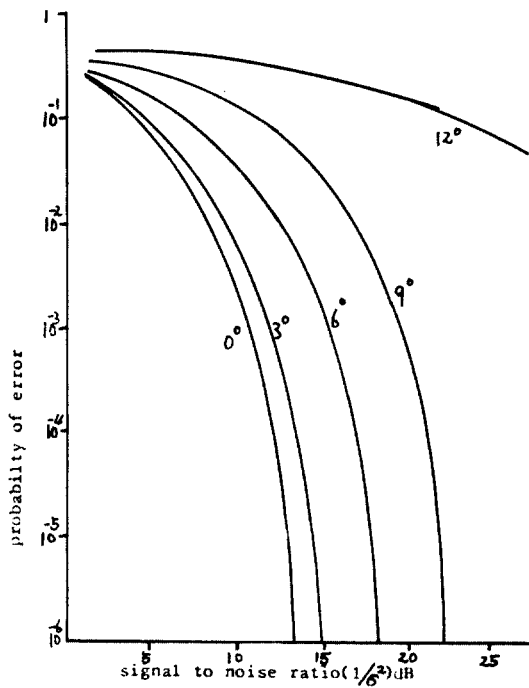


Fig.4 Error-rate of the PR class II (4-ary)

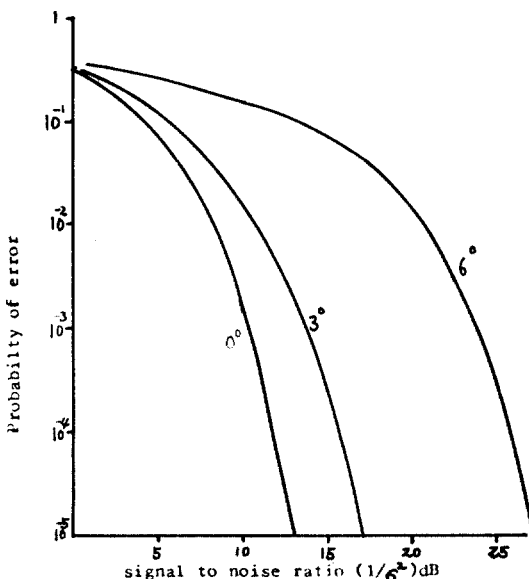


Fig.6 Error-rate of the PR class I  
(16-ary)

#### REFERENCES

1. P.Kabal and S.Pasupathy, "Partial-Response Signaling," IEEE Trans. on Comm., vol.COM-23-9, Sep.1975
2. S.Pasupathy,M.A. Yongacglu, and J.B. Taller, "Carrier phase Error in Single Sideband-Partial Response Systems," IEEE Trans. on Comm., vol. COM-28-12, Dec.1980.
3. J.Steele and B.M.Smith, "The Effects of Equalization, Timing, and Carrier Phase on The Eye Patterns of Class 4 Partial-Response Data Signals," IEEE Trans. on Comm., vol.COM-23-2, Feb. 1975.
4. B.M.Smith, Results for the Eye Patterns of Class 4 partial Response Data Signals,"IEEE Trans. on Comm., May.1974.
5. F.Jager and C.B.Dekker,"Tamed Frequency Modulation, A Novel Method to Achieve Spectrum Economy in Digital Transmission," IEEE Trans. on Comm., vol.COM-26-5, May 1978.
6. G.J.Garrison," Power Spectral Analysis for Digital FM"IEEE Trans.on Comm., vol. COM-23-11, Nov.1975.
7. D.Muijlwijk, "Correlative Phase Shift Keying-A Class of Constant Envelope Modulation Techniques,"IEEE Trans. on Comm., vol. COM-29-3, March 1981.
8. G.J. Sunndal,"Error Rate of QPSK Evaluated in Amplitude-Phase Space," IEEE Trans. on Comm., vol. COM-27-12, Dec.1979.
9. D.P.Taylor and D.Cheung, "The Effect of Carrier Phase Error on the Performance of a Duobinary Shaped QPSK Signal," IEEE Trans. on Comm., vol. COM-25-7, July 1977.
10. I.S.Gradshteyn and I.M. Ryzhik, Table of integrals, series, and products, Academic Press, New York, 1965.
11. K.Feher, Digital Communication Microwave Applications, Prentice-Hall, New York, 1981.